

УДК 621.01+621.9.06-529

**E.C. Темирбеков**

ЕНУ им. Л.Н. Гумилева, Астана, Казахстан

## **РАВНОВЕСИЕ КОНЕЧНОГО СТЕРЖНЕВОГО ЭЛЕМЕНТА С УЧЕТОМ ИНЕРЦИИ ДВИЖЕНИЯ МЕХАНИЗМА**

В механике машин инерция движения стержневых звеньев учитывается обычно приведением к центру масс в виде главного вектора сил и главного момента пар сил, а центр масс входит в конечно-элементную модель конструкции механизма в качестве узла [1]. Можно создать более точные конечно-элементные модели, аналитически учитывающие распределенную инерцию движения.

Рассмотрим сначала плоское параллельное движение звена  $k$  в неподвижной системе  $OXYZ$  (рис. 1). В точке  $O$  введем подвижную систему координат  $OX'Y'Z'$ , положение которой определяется углом  $\theta_k$ . Сначала в  $P_k$ , связывающем  $k$ -тое звено с  $(k-1)$ -м, введем две локальные системы координат  $P_kX_kY_kZ_k$ , перемещающиеся вместе со связанным шарниром и с осями, остающимися соответственно параллельными к осям системы координат  $OXYZ$ , а также  $P_kX'_kY'_kZ'_k$ , жестко связанную со звеном  $k$ .

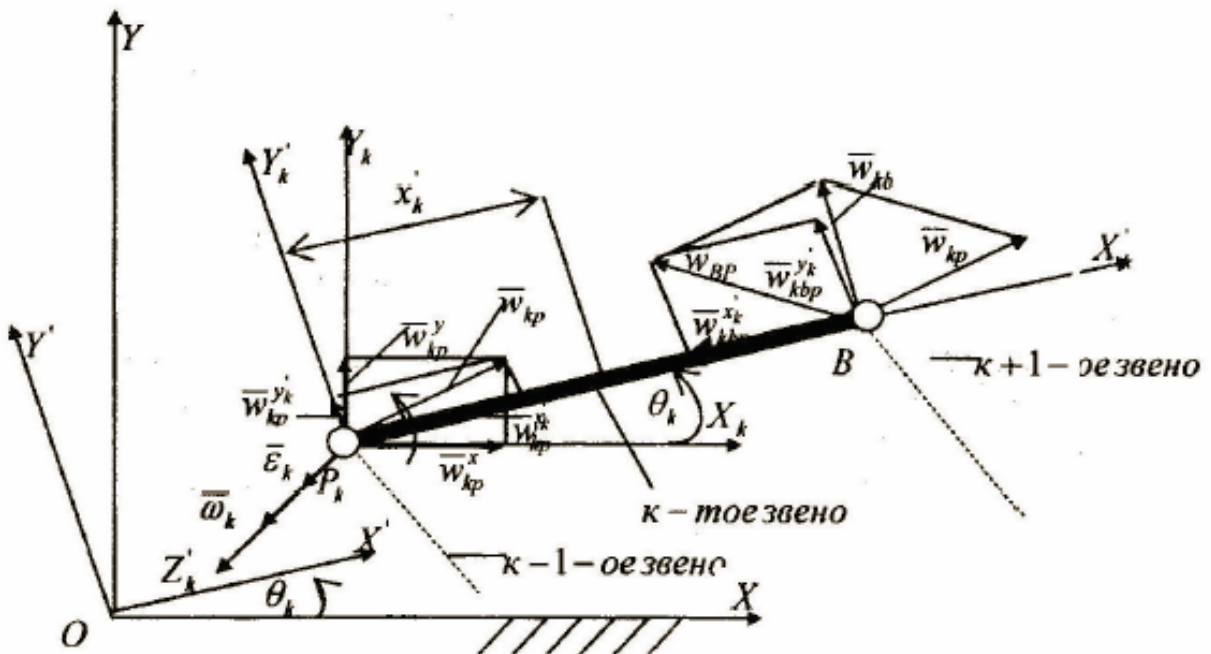


Рис. 1

Пусть  $k$ -тое звено механизма с постоянным сечением движется плоскоПараллельно относительно  $OXY$ . И пусть в каком-то мгновенном положении механизма известны  $\theta_k$ , компоненты ускорения  $\bar{w}_{kp}^x$  и  $\bar{w}_{kp}^y$  точки  $P_k$  звена  $k$  относительно неподвижной системы координат  $OXY$ ,  $\bar{\omega}_k$ ,  $\bar{\varepsilon}_k$  – угловые скорость и ускорение звена  $k$  с направлениями, как показано на рисунке. Тогда

$$\begin{Bmatrix} \bar{w}_{kp}^x \\ \bar{w}_{kp}^y \end{Bmatrix} = \begin{bmatrix} \cos \theta_k & \sin \theta_k \\ -\sin \theta_k & \cos \theta_k \end{bmatrix} \begin{Bmatrix} \bar{w}_{kp}^x \\ \bar{w}_{kp}^y \end{Bmatrix}.$$

Ускорение точки  $B$   $k$ -го звена складывается из ускорения точки  $P_k$  и ускорения точки  $B$  в ее вращении вместе со звеном вокруг этого полюса. Вектор  $\bar{w}_{kb}^y$  направлен перпендикулярно к оси звена,  $\bar{w}_{kb}^{x_k}$  всегда направлен от точки  $B$  к полюсу  $P_k$ . Компоненты ускорения точки  $B$  относительно системы координат  $O'X'Y'$  в матричной форме имеют вид:

$$\begin{Bmatrix} \bar{w}_b^{x_k} \\ \bar{w}_b^{y_k} \end{Bmatrix} = \begin{Bmatrix} \bar{w}_{kp}^{x_k} \\ \bar{w}_{kp}^{y_k} \end{Bmatrix} + \begin{Bmatrix} \bar{w}_{kb}^{x_k} \\ \bar{w}_{kb}^{y_k} \end{Bmatrix} = \begin{bmatrix} \cos \theta_k & \sin \theta_k \\ -\sin \theta_k & \cos \theta_k \end{bmatrix} \begin{Bmatrix} \bar{w}_{kp}^x \\ \bar{w}_{kp}^y \end{Bmatrix} + \begin{Bmatrix} -l_k \bar{\omega}_k^2 \\ l_k \bar{\varepsilon}_k \end{Bmatrix}.$$

Если поперечные сечения вдоль звена постоянные, тогда силу тяжести звена можно рассматривать как равномерно распределенную на-

грузку по длине звена с интенсивностью  $q_{cb}^k = \gamma_k A_k$ , где  $\gamma_k$  – удельный вес материала,  $A_k$  – площадь поперечного сечения звена  $k$ . Из-за необходимости дальнейшего расчета звена эту нагрузку разложим по двум направлениям:

$$\begin{Bmatrix} q_{cb}^{x_k} \\ q_{cb}^{y_k} \end{Bmatrix} = \begin{bmatrix} \cos \theta_k & \sin \theta_k \\ -\sin \theta_k & \cos \theta_k \end{bmatrix} \begin{Bmatrix} 0 \\ -q_{cb}^k \end{Bmatrix}.$$

Интенсивность равномерно распределенной нагрузки, действующей перпендикулярно к оси звена, возникающей от ускорения  $\bar{w}_{kp}^{y_k}$ , равна

$q_n^{y_k} = -\frac{\gamma_k A_k}{g} \bar{w}_{kp}^{y_k}$  и направлена противоположно направлению  $\bar{w}_{kp}^{y_k}$ . От

угловой скорости  $\bar{\omega}_k$  вращательного движения звена  $k$  вокруг полюса  $P_k$  возникают распределенные нагрузки треугольного вида с интенсив-

ностью  $q_b^{x_k} = \frac{\gamma_k A_k}{g} \omega_k^2 x_k$ , действующие вдоль оси звена, всегда направ-

ленные по оси  $x_k$  от оси вращения. От углового ускорения вращатель-  
ного движения звена  $k$  вокруг оси  $Z_k$  возникают распределенные на-

грузки треугольного вида с интенсивностью  $q_b^{y_k} = -\frac{\gamma_k A_k}{g} \varepsilon_k x_k$ . Эти

нагрузки всегда действуют перпендикулярно к оси звена и направлены  
противоположно к направлению вектора  $\bar{\varepsilon}_k \times \bar{l}_k$ .

Суммируя нагрузки, действующие по оси  $Y_k$ , видим, что интенсив-  
ность суммарной нагрузки меняется по длине звена по линейному закону:

$$q_y(x_k) = a_{kq} + b_{kq} x_k;$$

где  $a_{kq} = -\gamma_k A_k \cos \theta_k - \frac{\gamma_k A_k}{g} w_{kp}^{y_k}$ ,  $b_{kq} = -\frac{\gamma_k A_k}{g} \varepsilon$

Аналогично суммируя нагрузки, действующие вдоль оси звена (по  $X_k$ ), видно, что их интенсивность также меняется вдоль звена по ли-  
нейному закону и выражается с помощью следующего уравнения:

$$q_x(x_k) = a_{kn} + b_{kn} x_k; a_{kn} = -\gamma_k A_k \sin \theta_k - \frac{\gamma_k A_k}{g} w_{kp}^{x_k}, b_{kn} = \frac{\gamma_k A_k}{g} \omega_k^2.$$

Таким образом, интенсивности сил инерции и тяжести звена имеют вполне определенное аналитическое выражение. Используя их и метод конечных стержневых элементов (МКЭ), основанный на прямолинейном однородном стержне [1–3], получим более точные для исследования кинетостатики рычажных механизмов конечно-элементные модели, аналитически учитывающие распределенную инерцию плоскопараллельного движения. Уравнения равновесия элемента стержня МКЭ (рис. 2):

$$\begin{aligned} \frac{dN}{dx} + q_x &= \frac{dN}{dx} + a_n + b_n x = 0, \\ \frac{dQ_y}{dx} + q_y &= \frac{dQ_y}{dx} + a_q + b_q x = 0; \quad \frac{dM_z}{dx} - Q_y = 0; \\ \frac{dQ_z}{dx} &= 0; \quad \frac{dM_y}{dx} - Q_z = 0 \quad \frac{dM}{dx} = 0 \end{aligned} \quad (1)$$

Учитывая положительные направления внешних и внутренних геометрических и силовых факторов (рис. 2 и 3):

$$\begin{aligned} \varphi_{y0} &= -\varphi_2^y; \quad \varphi_{y1} = -\varphi_2^{ji}; \\ N_0 &= -R_{1N\xi}^y; \quad Q_{y0} = -R_{2N\xi}^y; \quad Q_{z0} = -R_{3N\xi}^y; \\ M_0 &= -R_{1M\xi}^{ij}; \quad M_{y0} = -R_{2M\xi}^{ij}; \quad M_{z0} = -R_{3M\xi}^{ij}; \end{aligned} \quad (2)$$

а направления остальных факторов совпадают и, опуская промежуточные преобразования, получаем основные соотношения равновесия МКЭ для прямолинейного однородного стержневого элемента (рис. 3),

$$\begin{Bmatrix} \tilde{R}_\xi^{ij} \\ \tilde{R}_\xi^{ji} \end{Bmatrix} = \begin{bmatrix} B_{11}^y & B_{12}^y \\ B_{21}^y & B_{22}^y \end{bmatrix} \begin{Bmatrix} \vec{U}_\xi^y \\ \vec{U}_\xi^{ji} \end{Bmatrix} + \begin{Bmatrix} \bar{Q}^y \\ \bar{Q}^{ji} \end{Bmatrix} \quad (3)$$

связывающие обобщенные реактивные силы  
 $\tilde{R}_\xi^{ij} = [R_{1N\xi}^y R_{2N\xi}^y R_{3N\xi}^y R_{1M\xi}^y R_{2M\xi}^y R_{3M\xi}^y]^T$ ,  $\tilde{R}_\xi^{ji} = [R_{1N\xi}^y R_{2N\xi}^y R_{3N\xi}^y R_{1M\xi}^y R_{2M\xi}^y R_{3M\xi}^y]^T$ ,  
действующие в узлах стержня с узловыми обобщенными перемещениями  $\vec{U}_\xi^y = [u_1^y u_2^y u_3^y \varphi_1^y \varphi_2^y \varphi_3^y]^T$  и  $\vec{U}_\xi^{ji} = [u_1^{ji} u_2^{ji} u_3^{ji} \varphi_1^{ji} \varphi_2^{ji} \varphi_3^{ji}]^T$ . Квадратные подматрицы  $[B_{rj}^y]$  ( $r = 1, 2$ ;  $j = 1, 2$ ) матрицы жесткости  $[B^y]$  стержневого элемента не изменяются [2, 3], а подвекторы  $\bar{Q}^{ij}$  и  $\bar{Q}^{ji}$  получают вид (4). Таким образом, определены элементы (4) подвекторов  $\bar{Q}^{ij}$  и  $\bar{Q}^{ji}$ , аналитически учитывающие не только вес, но и распределенную инерцию плоскопараллельного движения звена стержневого механизма:

$$\bar{Q}^{ij} = \begin{pmatrix} -\frac{a_n l}{2} - \frac{b_n l^2}{2} \\ -\frac{a_q l}{2} - \frac{3b_q l^2}{20} \\ 0 \\ 0 \\ -\frac{a_q l^2}{12} - \frac{b_q l^3}{30} \end{pmatrix}, \quad \bar{Q}^{ji} = \begin{pmatrix} -\frac{a_n l}{2} - \frac{b_n l^2}{2} \\ -\frac{a_q l}{2} - \frac{7b_q l^2}{20} \\ 0 \\ 0 \\ \frac{a_q l^2}{12} + \frac{b_q l^3}{30} \end{pmatrix} \quad (4)$$

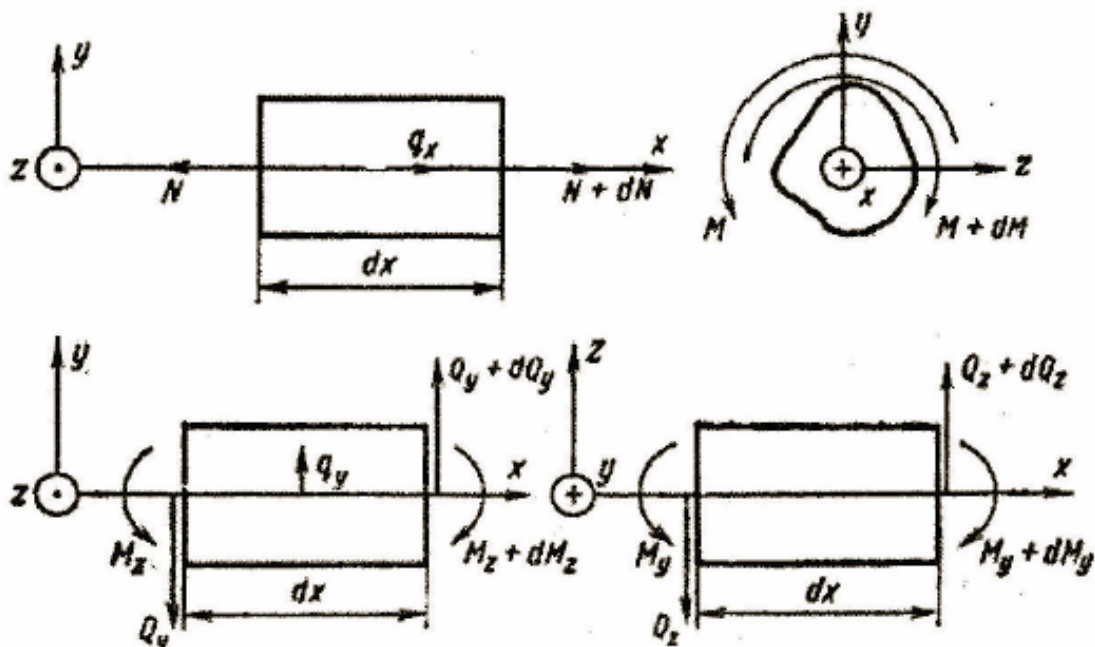


Рис. 2. Правило знаков для силовых воздействий

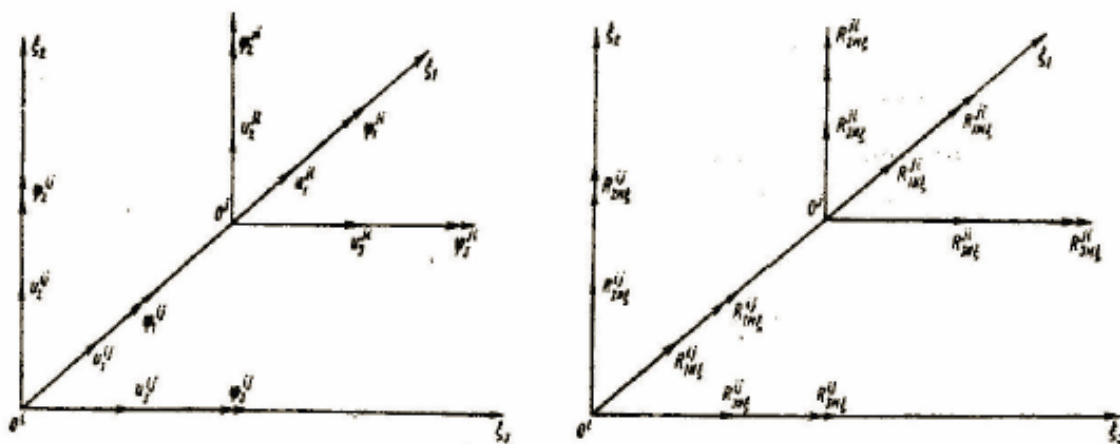


Рис. 3. Компоненты силовых воздействий и упругих перемещений стержневого конечного элемента

Теперь рассмотрим пространственное движение  $k$ -го звена механизма относительно неподвижной системы координат  $OXYZ$ . По теореме Шаля всякое перемещение свободного тела из одного положения в другое может быть получено посредством поступательного перемещения вместе с произвольно выбранным полюсом и поворота вокруг некоторой оси, проходящей через этот полюс. Тогда ускорение любой точки  $M$  свободного твердого тела в проекциях на подвижные оси  $P_kX'_kY'_kZ'_k$  имеет вид

$$\begin{cases} w_{xk} = w_{Pxk} + \frac{d\omega_{yk}}{dt} z_k - \frac{d\omega_{zk}}{dt} y_k + \omega_{xk} (\omega_{xk} x_k + \omega_{yk} y_k + \omega_{zk} z_k) - \omega_k^2 x_k \\ w_{yk} = w_{Pyk} + \frac{d\omega_{zk}}{dt} x_k - \frac{d\omega_{xk}}{dt} z_k + \omega_{yk} (\omega_{xk} x_k + \omega_{yk} y_k + \omega_{zk} z_k) - \omega_k^2 y_k \\ w_{zk} = w_{Pzk} + \frac{d\omega_{xk}}{dt} y_k - \frac{d\omega_{yk}}{dt} x_k + \omega_{zk} (\omega_{xk} x_k + \omega_{yk} y_k + \omega_{zk} z_k) - \omega_k^2 z_k \end{cases}$$

где  $w_{Pxk}, w_{Pyk}, w_{Pzk}$  — проекции ускорения  $\bar{w}_{P_k}$  полюса  $P_k$  в системе координат  $P_kX'_kY'_kZ'_k$  (рис. 1). В рассматриваемом случае центры тяжести сечений звена расположены по оси  $P_kX'_k$ , следовательно, координаты точки  $M$  равны  $x_k = x'_k, y_k = z_k = 0$ , тогда

$$\begin{cases} w_{xk} = w_{Pxk} + \omega_{xk}^2 x_k - \omega_k^2 x_k \\ w_{yk} = w_{Pyk} + \frac{d\omega_{zk}}{dt} x_k + \omega_{yk} \omega_{xk} x_k \\ w_{zk} = w_{Pzk} - \frac{d\omega_{yk}}{dt} x_k + \omega_{xk} x_k \omega_{zk} \end{cases}$$

От ускорений  $w_{xk}$  по оси  $P_kX_k$  появляются распределенные инерционные силы, интенсивность суммарной нагрузки меняется по длине звена по линейному закону и определяется с помощью следующего выражения:

$$n_k(x_k) = a_{kn} + b_{kn} x_k,$$

где  $a_{kn} = -\gamma_k A_k \sin \theta_k - \frac{\gamma_k A_k}{g} w_{Pxk}, b_{kn} = -\frac{\gamma_k A_k}{g} \omega_{xk}^2 + \frac{\gamma_k A_k}{g} \omega_k^2$

Алгебраически суммируя все нагрузки, действующие к звену в плоскости  $P_kX_kY_k$ , получим, что интенсивность суммарной нагрузки меняется по длине звена по линейному закону и определяется с помощью следующего выражения:

$$q_k^y(x_k) = a_{kq}^y + b_{kq}^y x_k,$$

где  $b_{kq}^y = -\frac{\gamma_k A_k}{g} \frac{d\omega_{zk}}{dt} x_k - \frac{\gamma_k A_k}{g} \omega_{yk} \omega_{xk} x_k$ ,

$$a_{kq}^y = -\gamma_k A_k \cos \theta_k - \frac{\gamma_k A_k}{g} w_P y_k,$$

где  $\theta_k$  – угол наклона звена  $k$  в плоскости  $OXY$ .

Алгебраически суммируя все нагрузки, действующие к звену в плоскости  $P_k X_k Z_k$ , получим, что интенсивность суммарной нагрузки меняется по длине звена по линейному закону и определяется с помощью следующего выражения:

$$q_k^z(x_k) = a_{kq}^z + b_{kq}^z x_k,$$

где  $a_{kq}^z = -\frac{\gamma_k A_k}{g} w_P z_k$ ,  $b_{kq}^z = \frac{\gamma_k A_k}{g} \frac{d\omega_{yk}}{dt} x_k - \frac{\gamma_k A_k}{g} \omega_{zk} \omega_{xk} x_k$ .

Равновесия элемента стержня МКЭ (рис. 4) в пространственном случае будет:

$$\begin{aligned} \frac{dN}{dx} + q_x &= \frac{dN}{dx} + a_n + b_n x = 0, \quad \frac{dM}{dx} + m = 0; \\ \frac{dQ_y}{dx} + q_y &= \frac{dQ_y}{dx} + a_q + b_q x = 0; \quad \frac{dM_z}{dx} - Q_y = 0; \\ \frac{dQ_z}{dx} + q_z &= 0; \quad \frac{dM_y}{dx} - Q_z = 0. \end{aligned} \quad (5)$$

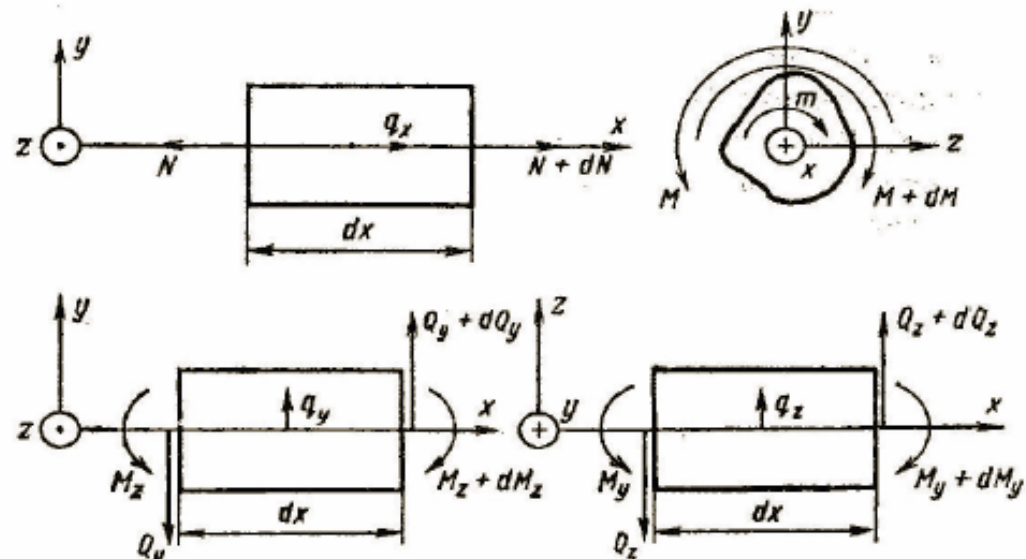


Рис. 4

Тогда, с учетом (2), подвекторы  $\vec{Q}^y$  и  $\vec{Q}^z$  уравнения равновесия МКЭ для прямолинейного однородного стержневого элемента (3), аналитически учитывающие не только вес, но и распределенную инерцию пространственного движения (5) звена  $k$ , получают вид:

$$\vec{Q}^{ij} = \begin{Bmatrix} -\frac{a_{ki}l}{2} - \frac{b_{ki}l^2}{2} \\ -\frac{a_{kj}^y l}{2} - \frac{3b_{kj}^y l^2}{20} \\ -\frac{a_{kj}^z l}{2} - \frac{3b_{kj}^z l^2}{20} \\ \frac{ml}{2} \\ \frac{a_{kj}^z l^2}{2} + \frac{b_{kj}^z l^3}{30} \\ -\frac{a_{kj}^y l^2}{12} - \frac{b_{kj}^y l^3}{30} \end{Bmatrix}, \quad \vec{Q}^{ji} = \begin{Bmatrix} -\frac{a_{ki}l}{2} - \frac{b_{ki}l^2}{2} \\ -\frac{a_{kj}^y l}{2} - \frac{7b_{kj}^y l^2}{20} \\ -\frac{a_{kj}^z l}{2} - \frac{7b_{kj}^z l^2}{20} \\ \frac{ml}{2} \\ -\frac{a_{kj}^z l^2}{2} - \frac{b_{kj}^z l^3}{30} \\ \frac{a_{kj}^y l^2}{12} + \frac{b_{kj}^y l^3}{30} \end{Bmatrix} \quad (6)$$

Таким образом, определены элементы (6) подвекторов  $\vec{Q}^y$  и  $\vec{Q}^z$ , аналитически учитывающие вес и распределенную инерцию пространственного движения звена стержневого механизма.

### Литература

1. Темирбеков Е.С. Кинематическое и силовое исследования механизмов высоких классов с учетом упругости звеньев: Дисс. ... докт. техн. наук. – Алматы, 1996.
2. Шапошников Н.Н., Тарабасов Н.Д., Петров В.Б., Мяченков В.И. Расчет машиностроительных конструкций на прочность и жесткость. – М.: Машиностроение, 1981. – 333 с.
3. Бате К., Вилсон Е. Численные методы анализа и метод конечных элементов / Пер. с англ. А.С. Алексеева и др.; под ред. А.Ф. Смирнова. – М.: Стройиздат, 1982. – 448 с.

- Электрическую энергию, выработанную на малой ГЭС, можно использовать для подпитки энергетической системы сельских линий, имеющих малую мощность.
- Привлечение государственных и частных инвесторов позволит реализовать программы по освоению энергии горных водотоков.
- Для дальнейшего изучения гидроэнергоресурсов республики необходимо проведение научно-исследовательских и проектно-изыскательских работ.

### *Литература*

1. *Беляков Ю.П., Рахимов К.Р. Изучение и использование гидроэнергетических ресурсов Кыргызстана.* – Бишкек, 1996.
2. *Токомбаев К.А., Виноградов Ю.П. Отчет по выполнению научно-исследовательского проекта “Разработка научных основ использования местных энергоресурсов горных районов Кыргызстана с целью решения социальных и экономических задач.* – Бишкек, 1998.